

Table S1. CM5 partial charges and spin density values of isolated electrolyte molecules (orders coincide with atom numbers in Figure 2)

Molecule		Partial Charge (e)		Spin Density
		Initial State	Oxidized State	Oxidized State
DME_ttt	1	-0.14	-0.10	0.02
	2	0.11	0.14	0.02
	3	0.10	0.14	0.01
	4	0.10	0.14	0.00
	5	-0.31	-0.18	0.25
	6	-0.06	0.03	0.17
	7	0.10	0.16	0.02
	8	0.10	0.16	0.02
	9	-0.06	0.03	0.17
	10	0.10	0.16	0.02
	11	0.10	0.17	0.02
	12	-0.31	-0.18	0.25
	13	-0.14	-0.10	0.01
	14	0.10	0.14	0.01
	15	0.11	0.14	0.02
	16	0.10	0.14	0.00
DME_tgt	1	-0.06	0.02	0.16
	2	0.10	0.17	0.03
	3	0.10	0.147	0.02

	4	-0.06	0.02	0.16
	5	0.10	0.17	0.02
	6	0.10	0.16	0.02
	7	-0.31	-0.17	0.26
	8	-0.31	-0.18	0.24
	9	-0.14	-0.10	0.02
	10	0.10	0.14	0.01
	11	0.11	0.14	0.00
	12	0.10	0.13	0.02
	13	-0.14	-0.10	0.01
	14	0.10	0.13	0.01
	15	0.11	0.14	0.00
	16	0.10	0.14	0.01
DOL	1	-0.06	-0.01	0.02
	2	-0.06	-0.01	0.02
	3	0.04	0.16	0.14
	4	0.11	0.16	0.01
	5	0.12	0.17	0.01
	6	0.11	0.17	0.01
	7	0.11	0.16	0.01
	8	0.13	0.25	0.14
	9	0.11	0.25	0.14
	10	-0.30	-0.15	0.26

	11	-0.31	-0.15	0.26
FSI-	1	-0.19	0.03	0.67
	2	0.54	0.64	0.03
	3	0.55	0.64	0.03
	4	-0.40	-0.30	0.07
	5	-0.40	-0.30	0.07
	6	-0.40	-0.30	0.07
	7	-0.40	-0.30	0.07
	8	-0.15	-0.05	0.00
	9	-0.15	-0.06	0.00
TFSI-	1	-0.20	0.00	0.66
	2	0.46	0.53	0.03
	3	0.46	0.54	0.02
	4	-0.40	-0.31	0.09
	5	-0.41	-0.32	0.06
	6	-0.40	-0.32	0.08
	7	-0.41	-0.32	0.06
	8	0.17	0.19	0.00
	9	0.17	0.20	0.00
	10	-0.07	-0.03	0.00
	11	-0.07	-0.03	0.00
	12	-0.07	-0.03	0.00
	13	-0.07	-0.03	0.00

EDOT	14	-0.07	-0.03	0.00
	15	-0.07	-0.03	0.00
	1	-0.17	-0.05	0.24
	2	0.06	0.18	0.21
	3	0.06	0.11	0.03
	4	-0.17	-0.10	0.04
	5	0.05	0.28	0.23
	6	0.13	0.18	0.01
	7	0.13	0.17	0.00
	8	-0.25	-0.21	0.01
	9	-0.25	-0.13	0.20
	10	-0.05	-0.03	0.00
	11	0.12	0.14	0.00
	12	0.13	0.16	0.00
FEC	13	-0.05	-0.02	0.01
	14	0.13	0.16	0.00
	15	0.12	0.15	0.01
	1	0.10	0.15	0.01
	2	-0.04	0.02	0.01
	3	0.14	0.18	0.00
	4	0.14	0.18	0.00
	5	-0.21	-0.12	0.02
	6	-0.21	-0.13	0.02

	7	0.39	0.49	0.05
	8	-0.36	0.07	0.88
	9	-0.12	-0.05	0.00
	10	0.16	0.20	0.00
I-	1	-1.00	0.00	1.00
Pyrrole	1	-0.46	-0.39	0.01
	2	-0.02	0.18	0.37
	3	-0.02	0.18	0.37
	4	0.37	0.41	0.00
	5	-0.17	-0.04	0.10
	6	0.13	0.19	0.02
	7	-0.17	-0.04	0.10
	8	0.13	0.19	0.02
	9	0.11	0.16	0.00
	10	0.11	0.16	0.00
BOB-	1	0.31	0.42	0.15
	2	0.31	0.42	0.15
	3	0.31	0.33	0.00
	4	0.31	0.33	0.00
	5	0.30	0.34	0.01
	6	-0.28	-0.27	0.00
	7	-0.28	-0.27	0.00
	8	-0.28	-0.17	0.09

	9	-0.28	-0.17	0.09
	10	-0.36	-0.17	0.25
	11	-0.36	-0.17	0.25
	12	-0.36	-0.31	0.00
	13	-0.36	-0.31	0.00
DFOB-	1	0.30	0.41	0.15
	2	0.30	0.41	0.15
	3	-0.37	-0.19	0.25
	4	-0.37	-0.19	0.25
	5	-0.24	-0.14	0.09
	6	-0.24	-0.14	0.09
	7	-0.21	-0.15	0.00
	8	-0.21	-0.15	0.00
	9	0.05	0.12	0.01

Table S2. CM5 partial charges and spin density values of electrolyte complexes with Li⁺ (orders coincide with atom numbers in Figure 3)

Complex	Partial Charge (e)		Spin Density	
	Initial State	Oxidized State	Oxidized State	
DME_ttt/Li ⁺	1	-0.11	-0.08	0.01
	2	0.14	0.15	0.01
	3	0.12	0.16	0.00
	4	0.12	0.15	0.00
	5	-0.38	-0.26	0.15
	6	-0.04	0.04	0.19
	7	0.12	0.17	0.02
	8	0.13	0.18	0.01
	9	-0.05	0.03	0.14
	10	0.12	0.18	0.02
	11	0.12	0.17	0.03
	12	-0.30	-0.12	0.34
	13	-0.13	-0.08	0.03
	14	0.10	0.16	0.02
	15	0.12	0.15	0.00
	16	0.10	0.16	0.02
	17	0.82	0.86	0.00
DME_tgt/Li ⁺	1	-0.04	0.03	0.13
	2	0.13	0.19	0.03

	3	0.13	0.17	0.02
	4	-0.04	0.04	0.18
	5	0.13	0.18	0.03
	6	0.13	0.18	0.01
	7	-0.36	-0.27	0.14
	8	-0.36	-0.12	0.36
	9	-0.11	-0.09	0.01
	10	0.12	0.14	0.01
	11	0.13	0.16	0.00
	12	0.12	0.15	0.00
	13	-0.11	-0.08	0.03
	14	0.12	0.15	0.01
	15	0.13	0.16	0.01
	16	0.12	0.15	0.03
	17	0.77	0.85	0.00
DOL/Li ⁺	1	-0.04	0.00	0.01
	2	-0.04	0.02	0.06
	3	0.07	0.16	0.11
	4	0.13	0.16	0.00
	5	0.13	0.18	0.00
	6	0.12	0.20	0.03
	7	0.14	0.20	0.05
	8	0.15	0.24	0.07

LiFSI	9	0.13	0.25	0.11
	10	-0.37	-0.26	0.05
	11	-0.28	-0.02	0.51
	12	0.86	0.87	0.00
	1	-0.15	0.04	0.67
	2	0.59	0.65	0.03
	3	0.59	0.68	0.03
	4	-0.44	-0.35	0.05
	5	-0.36	-0.27	0.07
	6	-0.36	-0.28	0.07
	7	-0.43	-0.29	0.08
	8	-0.11	-0.04	0.00
LiTFSI	9	-0.11	-0.04	0.00
	10	0.77	0.88	0.00
	1	-0.17	0.03	0.72
	2	0.50	0.58	0.04
	3	0.50	0.56	0.03
	4	-0.45	-0.35	0.07
	5	-0.37	-0.29	0.05
	6	-0.45	-0.35	0.07
	7	-0.37	-0.29	0.02
	8	0.18	0.22	0.00
	9	0.18	0.21	0.00

EDOT/Li ⁺	10	-0.05	-0.01	0.00
	11	-0.05	-0.01	0.00
	12	-0.05	-0.01	0.00
	13	-0.05	-0.02	0.00
	14	-0.05	-0.01	0.00
	15	-0.05	-0.01	0.00
	16	0.75	0.76	0.00
	1	-0.15	-0.02	0.27
	2	0.07	0.19	0.20
	3	0.07	0.11	0.01
	4	-0.15	-0.06	0.09
	5	0.10	0.30	0.19
	6	0.14	0.19	0.01
	7	0.15	0.19	0.01
	8	-0.31	-0.27	0.00

FEC/Li ⁺	1	0.12	0.16	0.01
	2	-0.02	0.11	0.24
	3	0.16	0.29	0.13
	4	0.16	0.30	0.15
	5	-0.18	-0.02	0.40
	6	-0.18	-0.12	0.00
	7	0.44	0.49	0.00
	8	-0.42	-0.27	0.04
	9	-0.10	-0.04	0.01
	10	0.17	0.21	0.01
	11	0.86	0.89	0.00
LiI	1	0.63	0.78	0.02
	2	-0.63	0.22	0.98
Pyrrole/Li ⁺	1	-0.48	-0.38	0.01
	2	0.00	0.19	0.37
	3	0.00	0.19	0.37
	4	0.40	0.41	0.00
	5	-0.14	-0.04	0.10
	6	0.16	0.20	0.02
	7	-0.14	-0.04	0.10
	8	0.16	0.20	0.02
	9	0.14	0.16	0.00
	10	0.14	0.16	0.00

	11	0.74	0.95	0.00
LiBOB	1	0.32	0.43	0.14
	2	0.32	0.43	0.14
	3	0.34	0.36	0.00
	4	0.34	0.36	0.00
	5	0.32	0.36	0.01
	6	-0.23	-0.23	0.00
	7	-0.23	-0.23	0.00
	8	-0.27	-0.17	0.09
	9	-0.27	-0.17	0.09
	10	-0.33	-0.15	0.26
	11	-0.33	-0.15	0.26
	12	-0.36	-0.31	0.00
	13	-0.36	-0.31	0.00
	14	0.76	0.78	0.00
LiDFOB	1	0.33	0.42	0.15
	2	0.33	0.42	0.15
	3	-0.38	-0.16	0.25
	4	-0.38	-0.16	0.25
	5	-0.20	-0.13	0.09
	6	-0.20	-0.13	0.09
	7	-0.18	-0.12	0.00
	8	-0.18	-0.16	0.00

	9	0.08	0.15	0.01
	10	0.76	0.89	0.00

Table S3. CM5 partial charges and spin density values of electrolyte complexes with TFSI⁻ (orders coincide with atom numbers in Figure 4)

Complex		Partial Charge (e)		Spin Density
		Initial State	Oxidized State	Oxidized State
DME_ttt/TFSI-	1	-0.15	-0.12	0.01
	2	0.10	0.12	0.00
	3	0.09	0.11	0.01
	4	0.09	0.11	0.01
	5	-0.31	-0.24	0.19
	6	-0.07	-0.01	0.53
	7	0.10	0.12	0.05
	8	0.10	0.29	0.06
	9	-0.07	-0.07	0.05
	10	0.10	0.11	0.01
	11	0.10	0.11	0.03
	12	-0.31	-0.30	0.01
	13	-0.14	-0.14	0.00
	14	0.10	0.09	0.00
	15	0.11	0.11	0.00
	16	0.10	0.10	0.00
	17	-0.19	-0.23	0.04
	18	0.46	0.54	0.00
	19	0.47	0.54	0.00

	20	-0.40	-0.35	0.00
	21	-0.40	-0.35	0.00
	22	-0.40	-0.35	0.00
	23	-0.41	-0.35	0.00
	24	0.17	0.19	0.00
	25	0.17	0.19	0.00
	26	-0.07	-0.04	0.00
	27	-0.07	-0.03	0.00
	28	-0.07	-0.03	0.00
	29	-0.07	-0.05	0.00
	30	-0.07	-0.04	0.00
	31	-0.07	-0.04	0.00
DME_tgt/TFSI-	1	-0.06	-0.07	0.04
	2	0.10	0.09	0.01
	3	0.10	0.10	0.00
	4	-0.06	0.00	0.52
	5	0.10	0.11	0.04
	6	0.11	0.30	0.06
	7	-0.31	-0.22	0.21
	8	-0.31	-0.30	0.03
	9	-0.14	-0.11	0.01
	10	0.10	0.09	0.01
	11	0.11	0.12	0.00

	12	0.10	0.11	0.01
	13	-0.14	-0.13	0.01
	14	0.10	0.09	0.00
	15	0.11	0.11	0.00
	16	0.10	0.09	0.00
	17	-0.20	-0.47	0.04
	18	0.46	0.64	0.00
	19	0.46	0.64	0.00
	20	-0.40	-0.33	0.00
	21	-0.41	-0.33	0.00
	22	-0.40	-0.33	0.00
	23	-0.41	-0.33	0.00
	24	0.17	0.35	0.00
	25	0.17	0.35	0.0
	26	-0.07	-0.10	0.00
	27	-0.07	-0.09	0.00
	28	-0.07	-0.10	0.00
	29	-0.07	-0.10	0.00
	30	-0.07	-0.10	0.00
	31	-0.07	-0.10	0.00
DOL/TFSI-	1	-0.06	-0.05	0.01
	2	-0.06	-0.05	0.01
	3	0.04	0.08	0.48

	4	0.11	0.11	0.00
	5	0.11	0.14	0.00
	6	0.11	0.13	0.00
	7	0.12	0.13	0.01
	8	0.13	0.15	0.06
	9	0.11	0.28	0.07
	10	-0.31	-0.25	0.14
	11	-0.30	-0.25	0.15
	12	-0.20	-0.23	0.05
	13	0.46	0.54	0.01
	14	0.46	0.54	0.01
	15	-0.40	-0.35	0.00
	16	-0.41	-0.34	0.00
	17	-0.40	-0.35	0.00
	18	-0.41	-0.35	0.00
	19	0.17	0.19	0.00
	20	0.17	0.19	0.00
	21	-0.07	-0.04	0.00
	22	-0.07	-0.04	0.00
	23	-0.07	-0.04	0.00
	24	-0.07	-0.04	0.00
	25	-0.07	-0.04	0.00
	26	-0.07	-0.04	0.00

EDOT/TFSI-	1	-0.17	-0.07	0.22
	2	0.06	0.18	0.20
	3	0.06	0.10	0.04
	4	-0.17	-0.11	0.03
	5	0.04	0.27	0.25
	6	0.13	0.17	0.01
	7	0.13	0.16	0.00
	8	-0.25	-0.22	0.02
	9	-0.25	-0.14	0.19
	10	-0.06	-0.04	0.00
	11	0.11	0.12	0.00
	12	0.12	0.15	0.00
	13	-0.06	-0.03	0.01
	14	0.12	0.15	0.00
	15	0.11	0.15	0.01
	16	-0.18	-0.19	0.01
	17	0.47	0.47	0.00
	18	0.46	0.47	0.00
	19	-0.40	-0.39	0.00
	20	-0.41	-0.39	0.00
	21	-0.40	-0.39	0.00
	22	-0.39	-0.39	0.00
	23	0.17	0.17	0.00

	24	0.17	0.17	0.00
	25	-0.07	-0.06	0.00
	26	-0.07	-0.06	0.00
	27	-0.06	-0.06	0.00
	28	-0.07	-0.06	0.00
	29	-0.07	-0.07	0.00
	30	-0.07	-0.06	0.00
FEC/TFSI-	1	0.09	0.11	0.00
	2	-0.05	-0.03	0.00
	3	0.14	0.15	0.00
	4	0.13	0.15	0.00
	5	-0.22	-0.20	0.00
	6	-0.21	-0.20	0.00
	7	0.38	0.40	0.00
	8	-0.37	-0.31	0.07
	9	-0.12	-0.11	0.00
	10	0.13	0.16	0.00
	11	-0.19	-0.01	0.66
	12	0.47	0.52	0.03
	13	0.47	0.53	0.03
	14	-0.40	-0.33	0.08
	15	-0.40	-0.33	0.02
	16	-0.40	-0.33	0.08

Pyrrole/TFSI ⁻	17	-0.40	-0.33	0.02
	18	0.17	0.19	0.00
	19	0.17	0.20	0.00
	20	-0.07	-0.04	0.00
	21	-0.07	-0.03	0.00
	22	-0.06	-0.04	0.00
	23	-0.06	-0.04	0.00
	24	-0.07	-0.03	0.00
	25	-0.07	-0.04	0.00
	1	-0.46	-0.41	0.01
	2	-0.03	0.17	0.37
	3	-0.03	0.17	0.37
	4	0.31	0.33	0.00
	5	-0.18	-0.05	0.10
	6	0.13	0.18	0.02
	7	-0.18	-0.05	0.10
	8	0.12	0.19	0.02
	9	0.10	0.15	0.00
	10	0.10	0.15	0.00
	11	-0.19	-0.19	0.00
	12	0.47	0.47	0.00
	13	0.47	0.47	0.00
	14	-0.39	-0.39	0.00

	15	-0.40	-0.39	0.00
	16	-0.38	-0.39	0.00
	17	-0.40	-0.39	0.00
	18	0.17	0.17	0.00
	19	0.17	0.17	0.00
	20	-0.07	-0.06	0.00
	21	-0.07	-0.06	0.00
	22	-0.06	-0.06	0.00
	23	-0.06	-0.06	0.00
	24	-0.07	-0.06	0.00
	25	-0.07	-0.06	0.00

Table S4. CM5 partial charges and spin density values of electrolyte complexes with LiTFSI
 (orders coincide with atom numbers in Figure 5)

Complex		Partial Charge (e)		Spin Density
		Initial State	Oxidized State	Oxidized State
DME_ttt/LiTFSI	1	-0.11	-0.12	0.00
	2	0.13	0.12	0.00
	3	0.12	0.12	0.00
	4	0.12	0.12	0.00
	5	-0.36	-0.36	0.01
	6	-0.05	-0.05	0.06
	7	0.12	0.12	0.04
	8	0.12	0.13	0.01
	9	-0.05	0.00	0.64
	10	0.12	0.13	0.05
	11	0.12	0.38	0.00
	12	-0.30	-0.30	0.16
	13	-0.13	-0.11	0.01
	14	0.10	0.12	0.01
	15	0.11	0.13	0.00
	16	0.10	0.12	0.01
	17	0.17	0.28	0.01
	18	-0.17	-0.14	0.00

DME_tgt/LiTFSI	19	-0.17	-0.14	0.00
	20	0.59	0.63	0.00
	21	-0.32	-0.34	0.00
	22	0.43	0.50	0.00
	23	-0.37	-0.32	0.00
	24	0.19	0.20	0.00
	25	-0.05	-0.02	0.00
	26	-0.05	-0.03	0.00
	27	-0.05	-0.02	0.00
	28	-0.37	-0.32	0.00
	29	0.18	0.20	0.00
	30	-0.05	-0.02	0.00
	31	-0.05	-0.03	0.00
	32	-0.05	-0.02	0.00
DME_tgt/LiTFSI	1	-0.05	0.00	0.64
	2	0.13	0.13	0.05
	3	0.12	0.38	0.00
	4	-0.05	-0.05	0.06
	5	0.13	0.13	0.01
	6	0.12	0.13	0.04
	7	-0.34	-0.36	0.01
	8	-0.34	-0.30	0.16

9	-0.12	-0.12	0.00
10	0.11	0.12	0.00
11	0.13	0.12	0.00
12	0.11	0.12	0.00
13	-0.12	-0.11	0.01
14	0.11	0.12	0.01
15	0.13	0.13	0.00
16	0.11	0.12	0.01
17	0.18	0.27	0.02
18	-0.17	-0.14	0.00
19	-0.17	-0.14	0.00
20	0.58	0.63	0.00
21	-0.32	-0.34	0.00
22	0.43	0.51	0.00
23	-0.38	-0.32	0.00
24	0.18	0.20	0.00
25	-0.06	-0.02	0.00
26	-0.05	-0.03	0.00
27	-0.05	-0.02	0.00
28	-0.38	-0.32	0.00
29	0.18	0.20	0.00
30	-0.05	-0.01	0.00

	31	-0.05	-0.03	0.00
	32	-0.05	-0.02	0.00
DOL/LiTFSI	1	-0.04	-0.04	0.01
	2	-0.05	-0.04	0.01
	3	0.06	0.07	0.62
	4	0.13	0.15	0.00
	5	0.13	0.13	0.00
	6	0.12	0.13	0.01
	7	0.13	0.14	0.00
	8	0.15	0.38	0.00
	9	0.13	0.15	0.06
	10	-0.35	-0.33	0.11
	11	-0.28	-0.24	0.16
	12	0.20	0.30	0.01
	13	-0.17	-0.14	0.00
	14	-0.18	-0.14	0.00
	15	0.59	0.64	0.00
	16	-0.32	-0.34	0.00
	17	0.43	0.51	0.00
	18	-0.37	-0.31	0.00
	19	0.18	0.21	0.00
	20	-0.05	-0.02	0.00

EDOT/LiTFSI	21	-0.05	-0.02	0.00
	22	-0.05	-0.02	0.00
	23	-0.37	-0.31	0.00
	24	0.18	0.21	0.00
	25	-0.05	-0.02	0.00
	26	-0.05	-0.02	0.00
	27	-0.05	-0.02	0.00
	1	-0.13	-0.03	0.27
	2	0.07	0.19	0.20
	3	0.07	0.11	0.01
	4	-0.11	-0.07	0.08
	5	0.02	0.29	0.20
	6	0.13	0.19	0.01
	7	0.14	0.18	0.00

FEC/LiTFSI	16	0.63	0.20	0.00
	17	-0.44	-0.18	0.00
	18	-0.44	-0.18	0.00
	19	0.63	0.59	0.00
	20	-0.46	-0.32	0.00
	21	0.63	0.43	0.00
	22	-0.36	-0.37	0.00
	23	-0.36	-0.37	0.00
	24	0.35	0.19	0.00
	25	-0.10	-0.05	0.00
	26	-0.11	-0.05	0.00
	27	-0.11	-0.05	0.00
	28	0.35	0.19	0.00
	29	-0.11	-0.05	0.00
	30	-0.10	-0.05	0.00
	31	-0.10	-0.04	0.00
LiTFSI	1	0.17	0.11	0.00
	2	-0.01	-0.02	0.00
	3	0.15	0.16	0.00
	4	0.15	0.16	0.00
	5	-0.17	-0.18	0.00
	6	-0.18	-0.18	0.00

	7	0.41	0.44	0.00
	8	-0.38	-0.41	0.00
	9	-0.16	-0.10	0.00
	10	0.16	0.17	0.00
	11	0.63	0.36	0.00
	12	-0.43	-0.13	0.08
	13	-0.44	-0.13	0.08
	14	0.63	0.61	0.03
	15	-0.47	-0.09	0.71
	16	0.63	0.50	0.04
	17	-0.36	-0.30	0.04
	18	0.35	0.21	0.00
	19	-0.10	-0.02	0.00
	20	-0.11	-0.02	0.00
	21	-0.11	-0.02	0.00
	22	-0.36	-0.29	0.02
	23	0.35	0.21	0.00
	24	-0.11	-0.01	0.00
	25	-0.11	-0.02	0.00
	26	-0.10	-0.01	0.00
I/LiTFSI	1	0.42	0.54	0.02
	2	-0.66	0.21	0.98

	3	-0.43	-0.44	0.00
	4	-0.43	-0.44	0.00
	5	0.62	0.63	0.00
	6	-0.47	-0.46	0.00
	7	0.62	0.63	0.00
	8	-0.37	-0.36	0.00
	9	-0.37	-0.36	0.00
	10	0.35	0.35	0.00
	11	-0.11	-0.11	0.00
	12	-0.11	-0.10	0.00
	13	-0.10	-0.10	0.00
	14	0.34	0.35	0.00
	15	-0.10	-0.10	0.00
	16	-0.11	-0.10	0.00
	17	-0.11	-0.11	0.00
Pyrrole/LiTFSI	1	-0.43	-0.39	0.01
	2	0.00	0.19	0.37
	3	0.00	0.18	0.37
	4	0.38	0.41	0.00
	5	-0.14	-0.03	0.10
	6	0.15	0.20	0.02
	7	-0.14	-0.04	0.10

	8	0.15	0.20	0.02
	9	0.13	0.17	0.00
	10	0.13	0.17	0.00
	11	0.53	0.25	0.00
	12	-0.43	-0.18	0.00
	13	-0.43	-0.18	0.00
	14	0.62	0.60	0.00
	15	-0.47	-0.31	0.00
	16	0.62	0.44	0.00
	17	-0.36	-0.37	0.00
	18	0.35	0.19	0.00
	19	-0.10	-0.05	0.00
	20	-0.11	-0.05	0.00
	21	-0.11	-0.05	0.00
	22	-0.37	-0.37	0.00
	23	0.35	0.19	0.00
	24	-0.11	-0.05	0.00
	25	-0.11	-0.05	0.00
	26	-0.10	-0.05	0.00
BOB ⁻ /LiTFSI	1	0.32	0.43	0.14
	2	0.32	0.43	0.14
	3	0.34	0.36	0.00

	4	0.34	0.36	0.00
	5	0.31	0.36	0.01
	6	-0.24	-0.24	0.00
	7	-0.24	-0.24	0.00
	8	-0.27	-0.17	0.09
	9	-0.27	-0.17	0.09
	10	-0.34	-0.15	0.26
	11	-0.34	-0.15	0.26
	12	-0.35	-0.30	0.00
	13	-0.35	-0.30	0.00
	14	0.14	0.13	0.00
	15	-0.17	-0.16	0.00
	16	0.51	0.51	0.00
	17	0.51	0.51	0.00
	18	-0.26	-0.26	0.00
	19	-0.38	-0.37	0.00
	20	-0.26	-0.26	0.00
	21	-0.38	-0.37	0.00
	22	0.18	0.18	0.00
	23	0.18	0.18	0.00
	24	-0.05	-0.05	0.00
	25	-0.06	-0.05	0.00
	26	-0.05	-0.05	0.00

DFOB ⁻ /LiTFSI	27	-0.05	-0.04	0.00
	28	-0.06	-0.05	0.00
	29	-0.05	-0.05	0.00
	1	0.33	0.38	0.15
	2	0.33	0.37	0.15
	3	-0.36	-0.16	0.25
	4	-0.36	-0.16	0.25
	5	-0.21	-0.12	0.09
	6	-0.21	-0.12	0.09
	7	-0.19	-0.13	0.00
	8	-0.19	-0.15	0.00
	9	0.08	0.12	0.01
	10	0.15	0.65	0.00
	11	-0.17	-0.46	0.00
	12	-0.17	0.63	0.00
	13	0.58	0.63	0.00
	14	-0.33	-0.43	0.00
	15	0.43	-0.35	0.00
	16	-0.38	-0.44	0.00
	17	-0.38	-0.36	0.00
	18	0.18	0.35	0.00
	19	-0.05	0.35	0.00
	20	-0.06	-0.10	0.00

21	-0.05	-0.10	0.00
22	0.18	-0.10	0.00
23	-0.04	-0.10	0.00
24	-0.06	-0.10	0.00
25	-0.05	-0.10	0.00

Table S5. CM5 partial charges and spin density values of electrolyte complexes with S₈ (orders coincide with atom numbers in Figure 6)

Complex		Partial Charge (e)		Spin Density
		Initial State	Oxidized State	Oxidized State
DME_ttt/S ₈	1	-0.13	-0.09	0.01
	2	0.10	0.13	0.02
	3	0.09	0.12	0.01
	4	0.09	0.13	0.00
	5	-0.30	-0.17	0.24
	6	-0.06	0.02	0.17
	7	0.08	0.15	0.02
	8	0.09	0.15	0.02
	9	-0.06	0.03	0.17
	10	0.10	0.16	0.02
	11	0.09	0.15	0.02
	12	-0.28	-0.16	0.25
	13	-0.13	-0.08	0.01
	14	0.09	0.13	0.02
	15	0.10	0.13	0.00
	16	0.09	0.14	0.00
	17	-0.01	0.00	0.00
	18	-0.01	0.01	0.00
	19	0.00	0.01	0.00

DME_tgt/S ₈	20	-0.01	0.01	0.00
	21	0.02	0.01	0.00
	22	0.01	0.00	0.00
	23	0.02	0.01	0.00
	24	-0.01	0.00	0.00
	1	-0.05	0.03	0.16
	2	0.10	0.16	0.03
	3	0.10	0.16	0.02
	4	-0.06	0.02	0.16
	5	0.10	0.16	0.02
	6	0.09	0.15	0.02
	7	-0.29	-0.16	0.25
	8	-0.28	-0.16	0.25
	9	-0.13	-0.09	0.02
	10	0.09	0.12	0.01
	11	0.10	0.14	0.01
	12	0.08	0.13	0.02
	13	-0.13	-0.09	0.01
	14	0.09	0.13	0.01
	15	0.10	0.14	0.00
	16	0.09	0.13	0.00
	17	-0.01	0.00	0.00
	18	-0.01	0.00	0.00

	19	-0.02	0.00	0.00
	20	0.02	0.01	0.00
	21	-0.01	0.00	0.00
	22	-0.02	0.00	0.00
	23	0.03	0.01	0.00
	24	0.01	0.01	0.00
DOL/S ₈	1	-0.06	-0.02	0.01
	2	-0.06	-0.02	0.01
	3	0.04	0.12	0.16
	4	0.10	0.13	0.01
	5	0.10	0.15	0.00
	6	0.10	0.14	0.00
	7	0.10	0.14	0.01
	8	0.12	0.19	0.06
	9	0.11	0.13	0.10
	10	-0.28	-0.19	0.16
	11	-0.28	-0.19	0.17
	12	0.02	0.05	0.01
	13	0.01	0.04	0.02
	14	0.02	0.03	0.01
	15	-0.01	0.03	0.00
	16	-0.01	0.13	0.22
	17	-0.01	0.05	0.01

FSI-S ₈	18	-0.01	0.04	0.02
	19	-0.01	0.03	0.01
	1	-0.48	-0.46	0.00
	2	0.69	0.70	0.00
	3	0.69	0.70	0.00
	4	-0.39	-0.37	0.00
	5	-0.39	-0.38	0.00
	6	-0.38	-0.38	0.01
	7	-0.38	-0.37	0.00
	8	-0.16	-0.14	0.00
	9	-0.16	-0.14	0.00
	10	0.01	0.05	0.03
	11	-0.02	0.08	0.05
	12	-0.01	0.16	0.17
	13	-0.01	0.22	0.44
	14	0.00	0.06	0.05
	15	0.01	0.05	0.03
	16	-0.02	0.08	0.06
	17	-0.01	0.16	0.16
TFSI-S ₈	1	-0.49	-0.41	0.19
	2	0.59	0.61	0.01
	3	0.59	0.61	0.01
	4	-0.38	-0.37	0.00

	5	-0.39	-0.36	0.03
	6	-0.39	-0.37	0.00
	7	-0.40	-0.36	0.02
	8	0.33	0.34	0.00
	9	0.33	0.34	0.00
	10	-0.13	-0.11	0.00
	11	-0.13	-0.10	0.00
	12	-0.12	-0.11	0.00
	13	-0.12	-0.12	0.00
	14	-0.13	-0.11	0.00
	15	-0.13	-0.11	0.00
	16	-0.02	0.22	0.49
	17	-0.01	0.09	0.06
	18	-0.01	0.06	0.05
	19	-0.01	0.03	0.02
	20	-0.01	0.09	0.05
	21	0.00	0.06	0.04
	22	0.01	0.03	0.02
	23	-0.02	0.04	0.02
I ⁻ /S ₈	1	-0.90	-0.11	0.84
	2	-0.01	0.01	0.01
	3	-0.01	0.01	0.01
	4	-0.01	0.01	0.00

Pyrrole/S ₈	5	-0.02	0.00	0.00
	6	-0.02	0.05	0.10
	7	-0.01	0.01	0.01
	8	-0.01	0.01	0.01
	9	-0.01	0.01	0.00
	1	-0.46	-0.39	0.01
	2	-0.01	0.17	0.36
	3	-0.02	0.17	0.36
	4	0.37	0.41	0.00
	5	-0.16	-0.05	0.09
	6	0.13	0.19	0.02
	7	-0.16	-0.05	0.10
	8	0.13	0.19	0.02
	9	0.11	0.16	0.00
	10	0.11	0.16	0.00
	11	0.00	0.00	0.02
	12	0.00	0.00	0.01
	13	-0.01	0.01	0.00
	14	-0.01	0.01	0.00
	15	0.00	0.00	0.00
	16	-0.01	0.01	0.00
	17	-0.01	0.01	0.00
	18	-0.01	0.01	0.00

Table S6. CM5 partial charges and spin density values of electrolyte complexes with pyrene
 (orders coincide with atom numbers in Figure 7)

Complex		Partial Charge (e)		Spin Density
		Initial State	Oxidized State	Oxidized State
DME_ttt/Pyrene	1	-0.14	-0.14	0.00
	2	0.11	0.11	0.00
	3	0.10	0.10	0.00
	4	0.10	0.10	0.00
	5	-0.31	-0.31	0.00
	6	-0.06	-0.06	0.00
	7	0.10	0.10	0.00
	8	0.10	0.10	0.00
	9	-0.06	-0.06	0.00
	10	0.10	0.11	0.00
	11	0.10	0.10	0.00
	12	-0.29	-0.29	0.00
	13	-0.14	-0.14	0.00
	14	0.10	0.10	0.00
	15	0.11	0.11	0.00
	16	0.10	0.10	0.00
	17	-0.11	-0.08	-0.02
	18	-0.11	-0.03	0.17
	19	-0.02	0.01	0.02

	20	-0.01	0.00	0.00
	21	-0.02	0.01	0.02
	22	-0.11	-0.03	0.17
	23	-0.10	-0.05	0.07
	24	-0.01	0.00	0.00
	25	-0.02	0.01	0.02
	26	-0.10	-0.05	0.07
	27	-0.11	-0.03	0.16
	28	0.12	0.14	0.01
	29	-0.11	-0.08	-0.02
	30	-0.11	-0.03	0.16
	31	-0.02	0.01	0.02
	32	-0.10	-0.05	0.07
	33	-0.10	-0.05	0.07
	34	0.12	0.14	0.00
	35	0.12	0.14	0.00
	36	0.11	0.13	0.00
	37	0.12	0.14	0.00
	38	0.12	0.14	0.01
	39	0.12	0.14	0.01
	40	0.11	0.13	0.00
	41	0.12	0.14	0.00
	42	0.12	0.14	0.01

DME_tgt/Pyrene	1	-0.06	-0.06	0.00
	2	0.11	0.09	0.00
	3	0.11	0.10	0.00
	4	-0.06	-0.06	0.00
	5	0.11	0.09	0.00
	6	0.11	0.09	0.00
	7	-0.30	-0.29	0.00
	8	-0.28	-0.29	0.00
	9	-0.14	-0.13	0.00
	10	0.10	0.09	0.00
	11	0.11	0.11	0.00
	12	0.09	0.09	0.00
	13	-0.14	-0.13	0.00
	14	0.10	0.08	0.00
	15	0.11	0.10	0.00
	16	0.10	0.09	0.00
	17	-0.11	-0.07	-0.03
	18	-0.11	-0.02	0.17
	19	-0.02	0.01	0.02
	20	-0.01	0.01	0.00
	21	-0.02	0.01	0.01
	22	-0.11	-0.02	0.17
	23	-0.11	-0.04	0.07

	24	-0.01	0.01	0.00
	25	-0.02	0.01	0.02
	26	-0.11	-0.04	0.07
	27	-0.11	-0.02	0.17
	28	0.11	0.14	0.01
	29	-0.11	-0.07	-0.03
	30	-0.11	-0.02	0.17
	31	-0.02	0.01	0.02
	32	-0.11	-0.04	0.07
	33	-0.11	-0.04	0.07
	34	0.11	0.14	0.00
	35	0.11	0.13	0.00
	36	0.12	0.13	0.00
	37	0.11	0.13	0.00
	38	0.11	0.14	0.01
	39	0.10	0.14	0.01
	40	0.12	0.13	0.00
	41	0.11	0.13	0.00
	42	0.11	0.14	0.01
DOL/Pyrene	1	-0.06	-0.06	0.00
	2	-0.06	-0.06	0.00
	3	0.04	0.04	0.00
	4	0.11	0.12	0.00

5	0.12	0.11	0.00
6	0.11	0.11	0.00
7	0.12	0.11	0.00
8	0.13	0.12	0.00
9	0.11	0.14	0.00
10	-0.30	-0.29	0.00
11	-0.30	-0.29	0.00
12	-0.11	-0.08	-0.02
13	-0.11	-0.03	0.16
14	-0.02	0.01	0.02
15	-0.01	0.00	0.00
16	-0.02	0.01	0.02
17	-0.11	-0.03	0.16
18	-0.10	-0.05	0.07
19	-0.01	0.00	0.00
20	-0.02	0.01	0.02
21	-0.10	-0.05	0.07
22	-0.11	-0.03	0.16
23	0.12	0.14	0.01
24	-0.11	-0.08	-0.02
25	-0.11	-0.03	0.16
26	-0.02	0.01	0.02
27	-0.10	-0.05	0.07

	28	-0.10	-0.05	0.07
	29	0.12	0.14	0.00
	30	0.12	0.14	0.00
	31	0.12	0.14	0.00
	32	0.12	0.14	0.00
	33	0.12	0.14	0.01
	34	0.12	0.14	0.01
	35	0.12	0.14	0.00
	36	0.12	0.12	0.00
	37	0.12	0.13	0.01
FSI-/Pyrene	1	-0.46	-0.17	0.00
	2	0.70	0.55	0.00
	3	0.70	0.55	0.00
	4	-0.39	-0.39	0.00
	5	-0.38	-0.39	0.00
	6	-0.38	-0.39	0.00
	7	-0.39	-0.39	0.00
	8	-0.16	-0.14	0.00
	9	-0.16	-0.14	0.00
	10	-0.11	-0.08	-0.02
	11	-0.10	-0.03	0.16
	12	-0.02	0.01	0.01
	13	-0.01	0.00	0.00

	14	-0.02	0.01	0.01
	15	-0.10	-0.03	0.16
	16	-0.10	-0.05	0.07
	17	-0.01	0.00	0.00
	18	-0.02	0.01	0.02
	19	-0.10	-0.05	0.06
	20	-0.10	-0.03	0.16
	21	0.11	0.14	0.01
	22	-0.11	-0.08	-0.02
	23	-0.10	-0.03	0.17
	24	-0.02	0.01	0.02
	25	-0.10	-0.05	0.06
	26	-0.10	-0.05	0.08
	27	0.11	0.14	0.00
	28	0.11	0.14	0.00
	29	0.11	0.14	0.00
	30	0.11	0.13	0.00
	31	0.11	0.14	0.01
	32	0.11	0.14	0.01
	33	0.11	0.14	0.00
	34	0.09	0.12	0.00
	35	0.09	0.12	0.01
TFSI-/Pyrene	1	-0.20	-0.19	0.00

2	0.46	0.47	0.00
3	0.46	0.47	0.00
4	-0.40	-0.40	0.00
5	-0.41	-0.39	0.00
6	-0.40	-0.41	0.00
7	-0.41	-0.40	0.00
8	0.17	0.17	0.00
9	0.17	0.17	0.00
10	-0.07	-0.07	0.00
11	-0.07	-0.07	0.00
12	-0.07	-0.07	0.00
13	-0.07	-0.06	0.00
14	-0.07	-0.07	0.00
15	-0.07	-0.07	0.00
16	-0.11	-0.08	-0.02
17	-0.11	-0.03	0.17
18	-0.02	0.01	0.02
19	-0.01	0.00	0.00
20	-0.02	0.01	0.02
21	-0.11	-0.03	0.16
22	-0.11	-0.05	0.07
23	-0.01	0.00	0.00
24	-0.02	0.01	0.01

I-/Pyrene	25	-0.10	-0.05	0.08
	26	-0.10	-0.03	0.17
	27	0.12	0.14	0.01
	28	-0.11	-0.08	-0.02
	29	-0.10	-0.03	0.16
	30	-0.02	0.01	0.01
	31	-0.10	-0.05	0.07
	32	-0.11	-0.05	0.06
	33	0.12	0.14	0.00
	34	0.12	0.14	0.00
	35	0.12	0.13	0.00
	36	0.11	0.13	0.00
	37	0.11	0.12	0.01
	38	0.11	0.14	0.01
	39	0.12	0.14	0.00
	40	0.12	0.13	0.00
	41	0.12	0.14	0.01
I-/Pyrene	1	-0.93	-0.19	0.76
	2	-0.11	-0.11	-0.01
	3	-0.11	-0.10	0.03
	4	-0.02	-0.02	-0.01
	5	-0.01	-0.01	0.00
	6	-0.02	-0.02	0.00

	7	-0.11	-0.10	0.03
	8	-0.11	-0.09	0.03
	9	-0.01	-0.01	-0.01
	10	-0.02	-0.01	0.04
	11	-0.11	-0.10	-0.01
	12	-0.11	-0.10	-0.01
	13	0.11	-0.12	0.00
	14	-0.11	-0.09	0.04
	15	-0.11	-0.07	0.05
	16	-0.02	-0.01	0.04
	17	-0.10	-0.10	0.00
	18	-0.11	-0.09	0.02
	19	0.12	0.12	0.00
	20	0.10	0.12	0.00
	21	0.11	0.12	0.00
	22	0.11	0.12	0.00
	23	0.11	0.12	0.00
	24	0.11	0.12	0.00
	25	0.12	0.12	0.00
	26	0.11	0.12	0.00
	27	0.10	0.12	0.00
Pyrrole/Pyrene	1	-0.42	-0.41	0.00
	2	-0.03	0.02	0.07

	3	-0.03	0.02	0.07
	4	0.36	0.36	0.00
	5	-0.16	-0.13	0.02
	6	0.12	0.13	0.00
	7	-0.17	-0.13	0.02
	8	0.11	0.13	0.00
	9	0.10	0.11	0.00
	10	0.09	0.11	0.00
	11	-0.10	-0.08	-0.02
	12	-0.10	-0.03	0.15
	13	-0.02	0.00	0.02
	14	-0.01	0.00	-0.01
	15	-0.02	0.01	0.03
	16	-0.10	-0.04	0.11
	17	-0.09	-0.05	0.06
	18	-0.01	0.00	0.00
	19	-0.01	0.00	0.00
	20	-0.09	-0.04	0.10
	21	-0.10	-0.04	0.13
	22	0.11	0.13	0.01
	23	-0.10	-0.08	-0.02
	24	-0.10	-0.04	0.14
	25	-0.02	0.00	0.00

	26	-0.10	-0.06	0.05
	27	-0.10	-0.06	0.03
	28	0.11	0.13	0.00
	29	0.11	0.13	0.00
	30	0.11	0.13	0.00
	31	0.11	0.13	0.00
	32	0.11	0.13	0.01
	33	0.11	0.13	0.01
	34	0.11	0.13	0.00
	35	0.11	0.13	0.00
	36	0.11	0.13	0.00

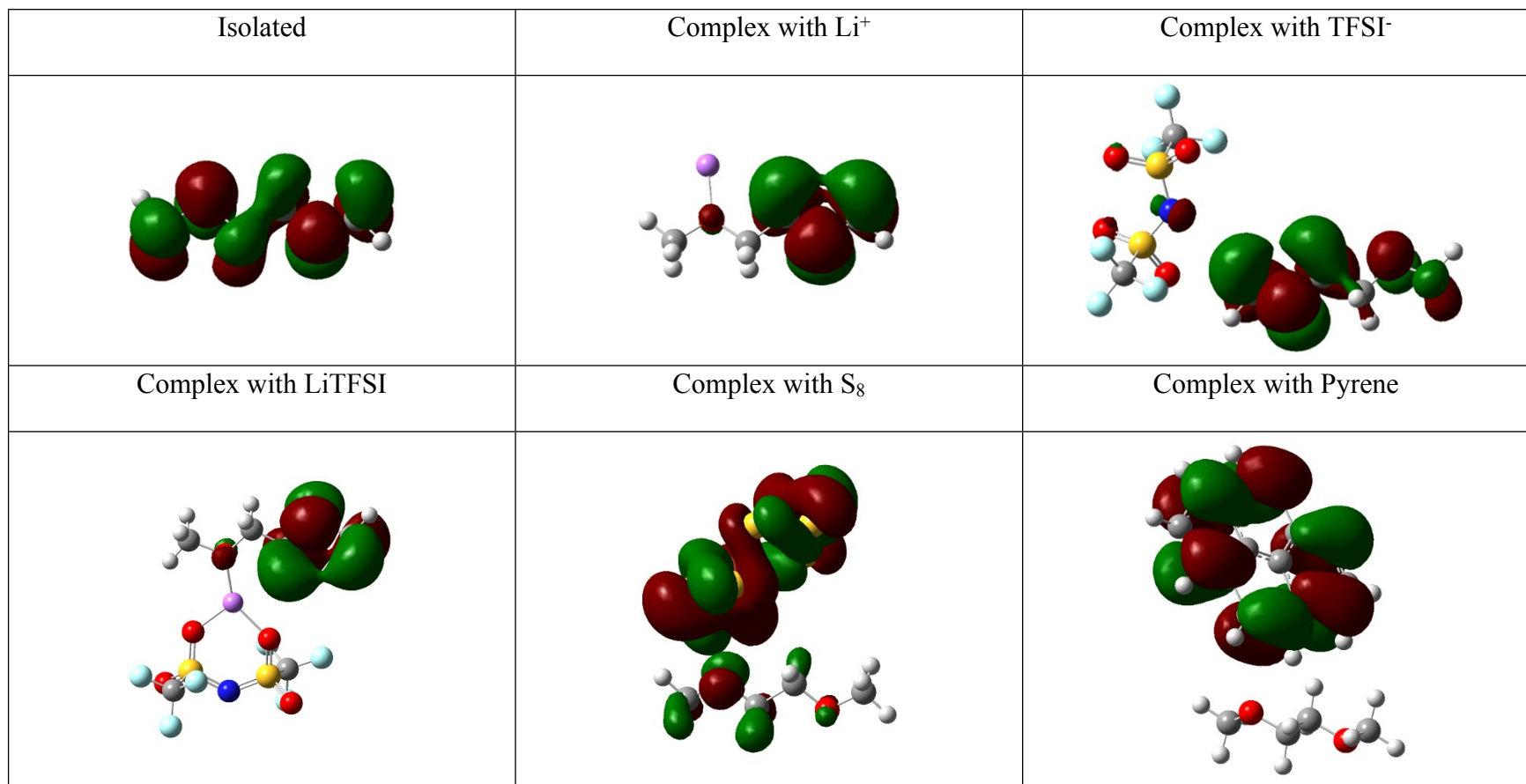


Figure S1. HOMOs of DME_ttt in isolated case, and in complexes with Li^+ , TFSI^- , LiTFSI , S_8 , and pyrene.

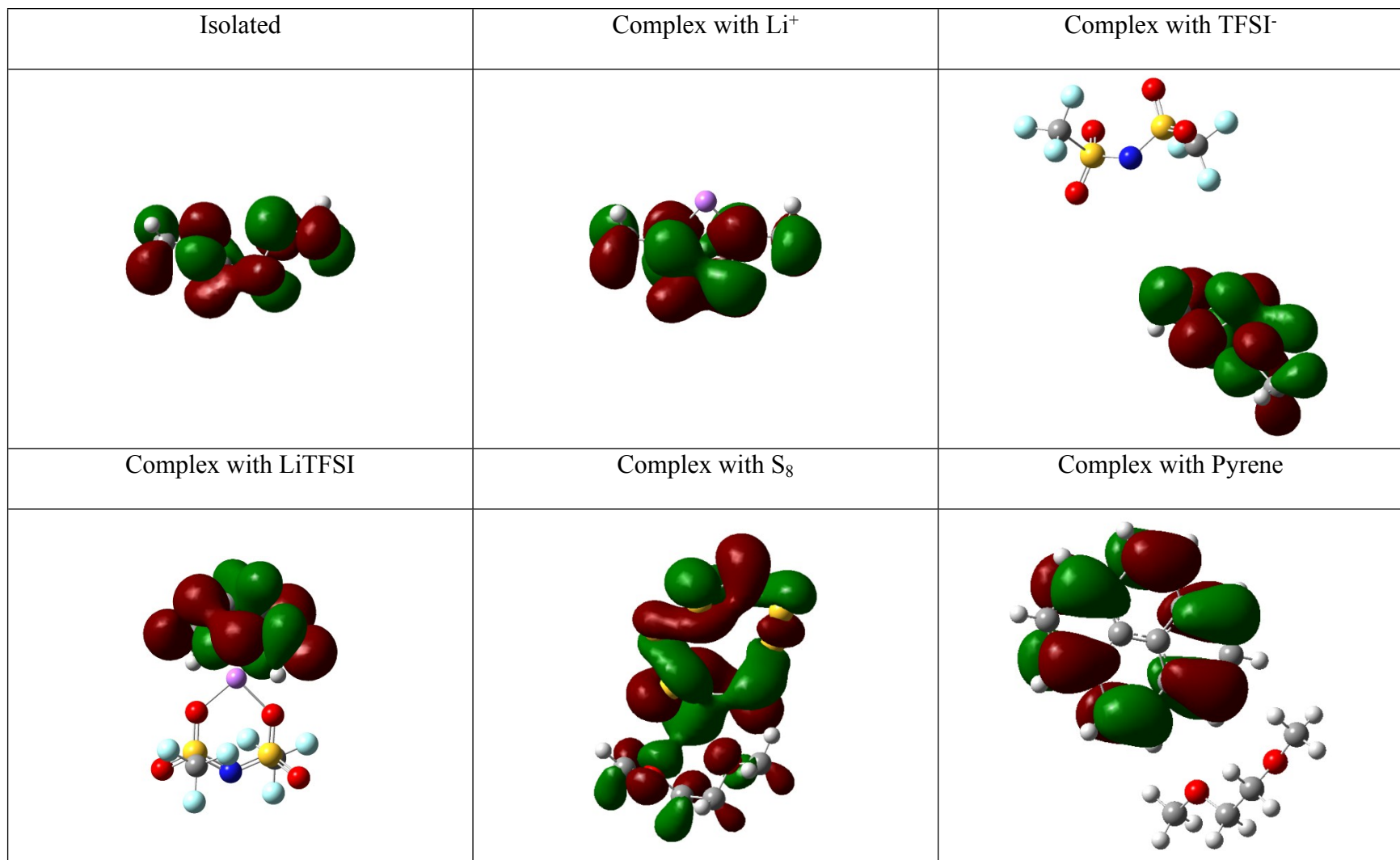


Figure S2. HOMOs of DME_tgt in isolated case, and in complexes with Li^+ , TFSI^- , LiTFSI , S_8 , and pyrene.

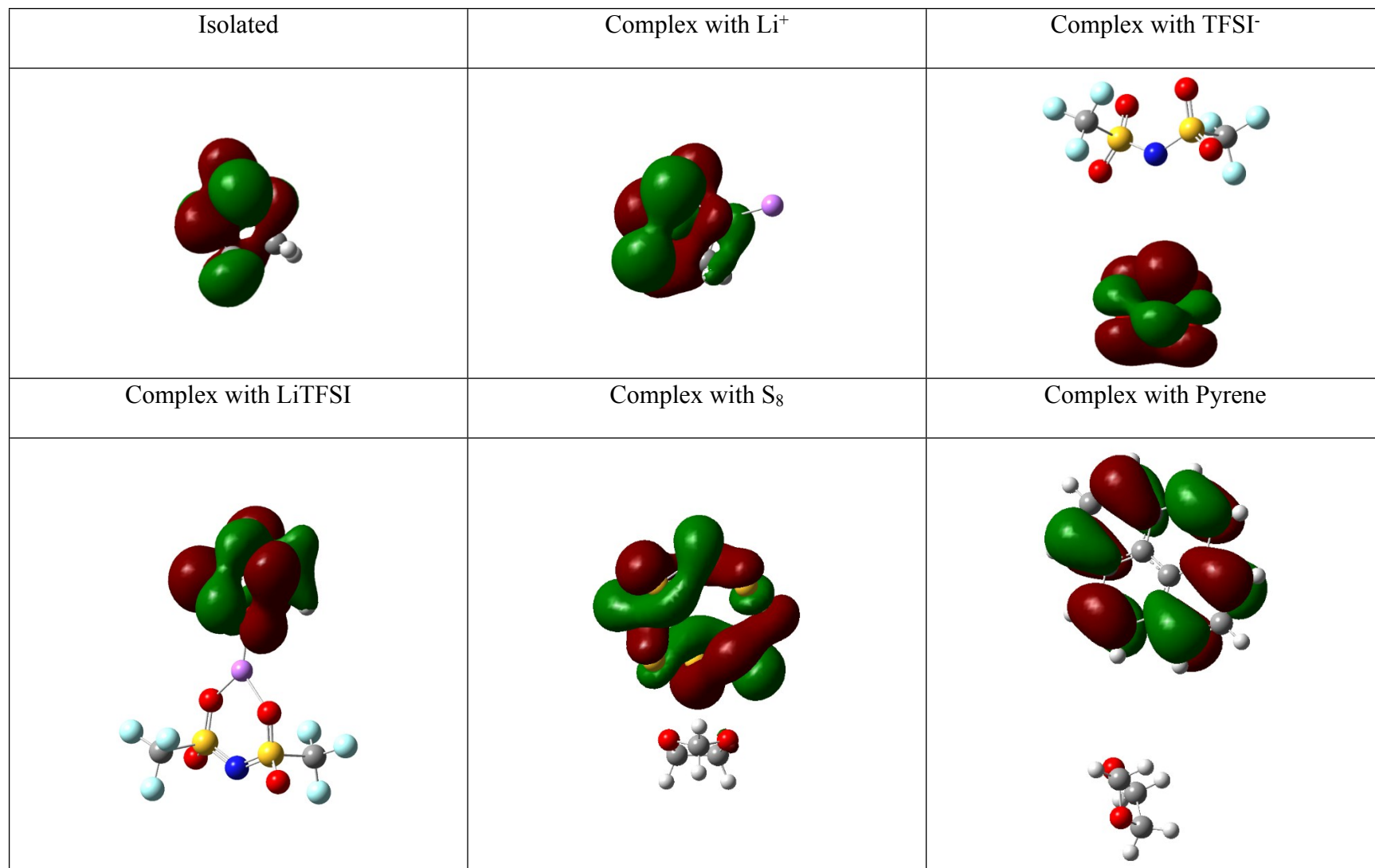


Figure S3. HOMOs of DOL in isolated case, and in complexes with Li^+ , TFSI^- , LiTFSI , S_8 , and pyrene.

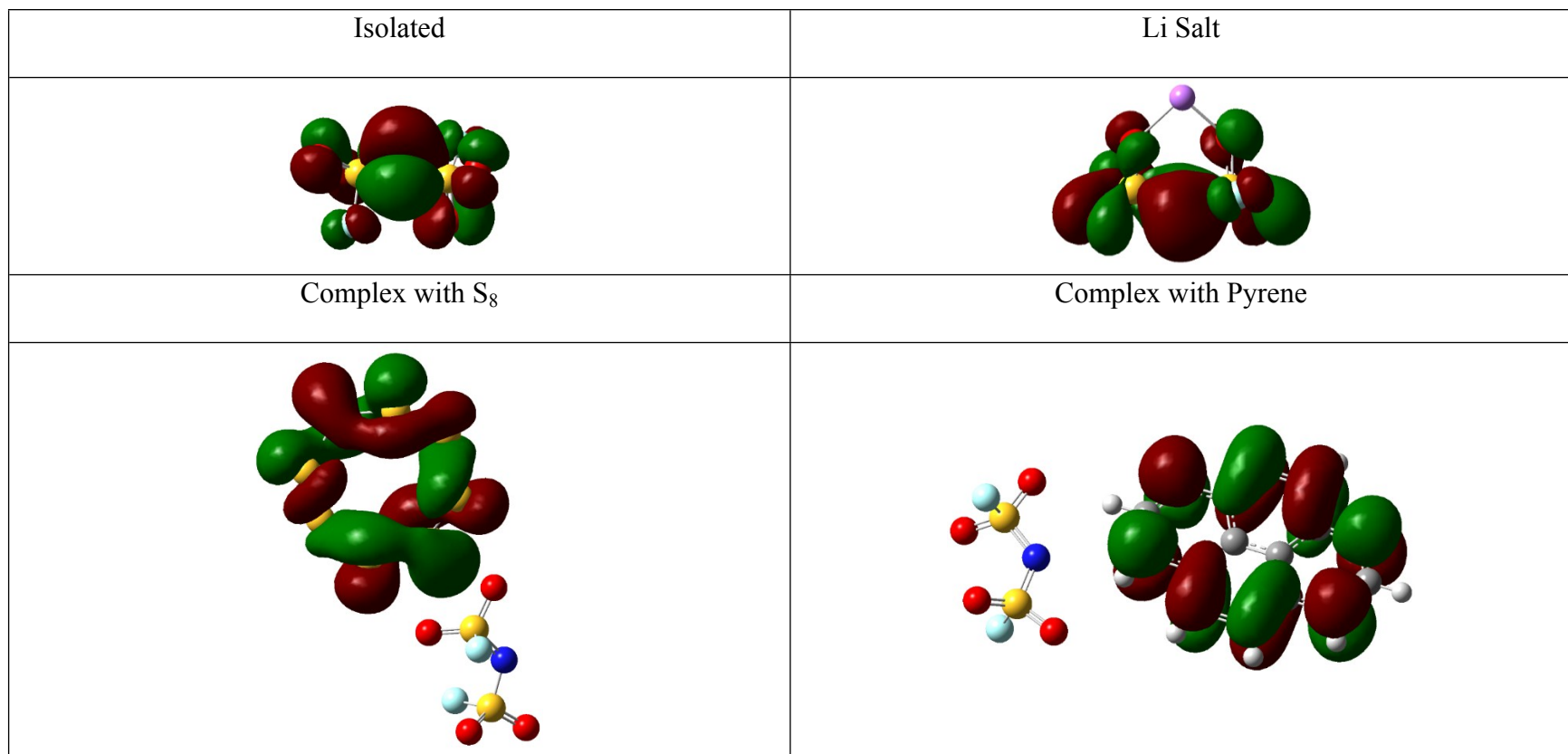


Figure S4. HOMOs of FSI⁻ in isolated case, and in complexes with Li⁺, S₈, and pyrene.

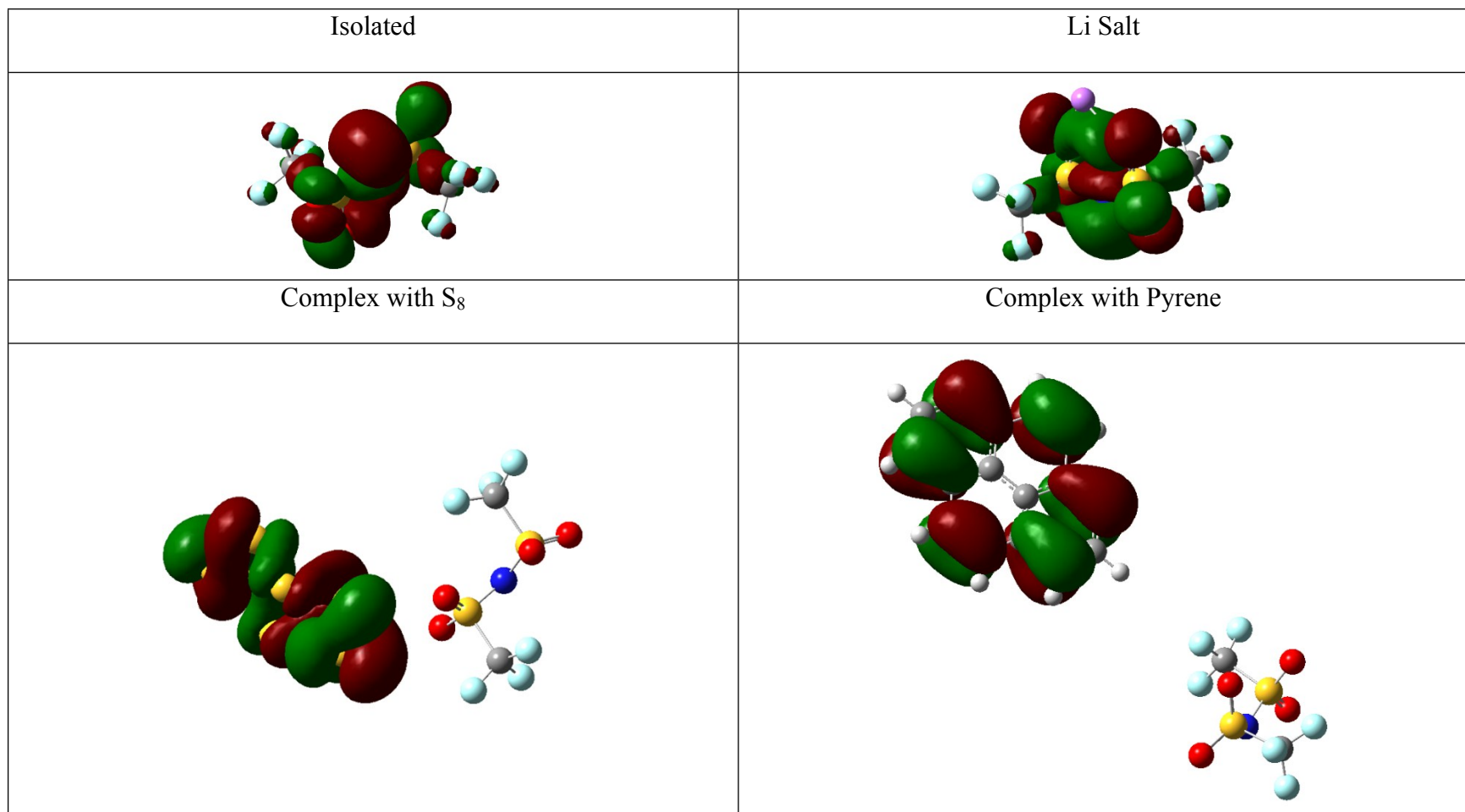


Figure S5. HOMOs of TFSI⁻ in isolated case, and in complexes with Li⁺, S₈, and pyrene.

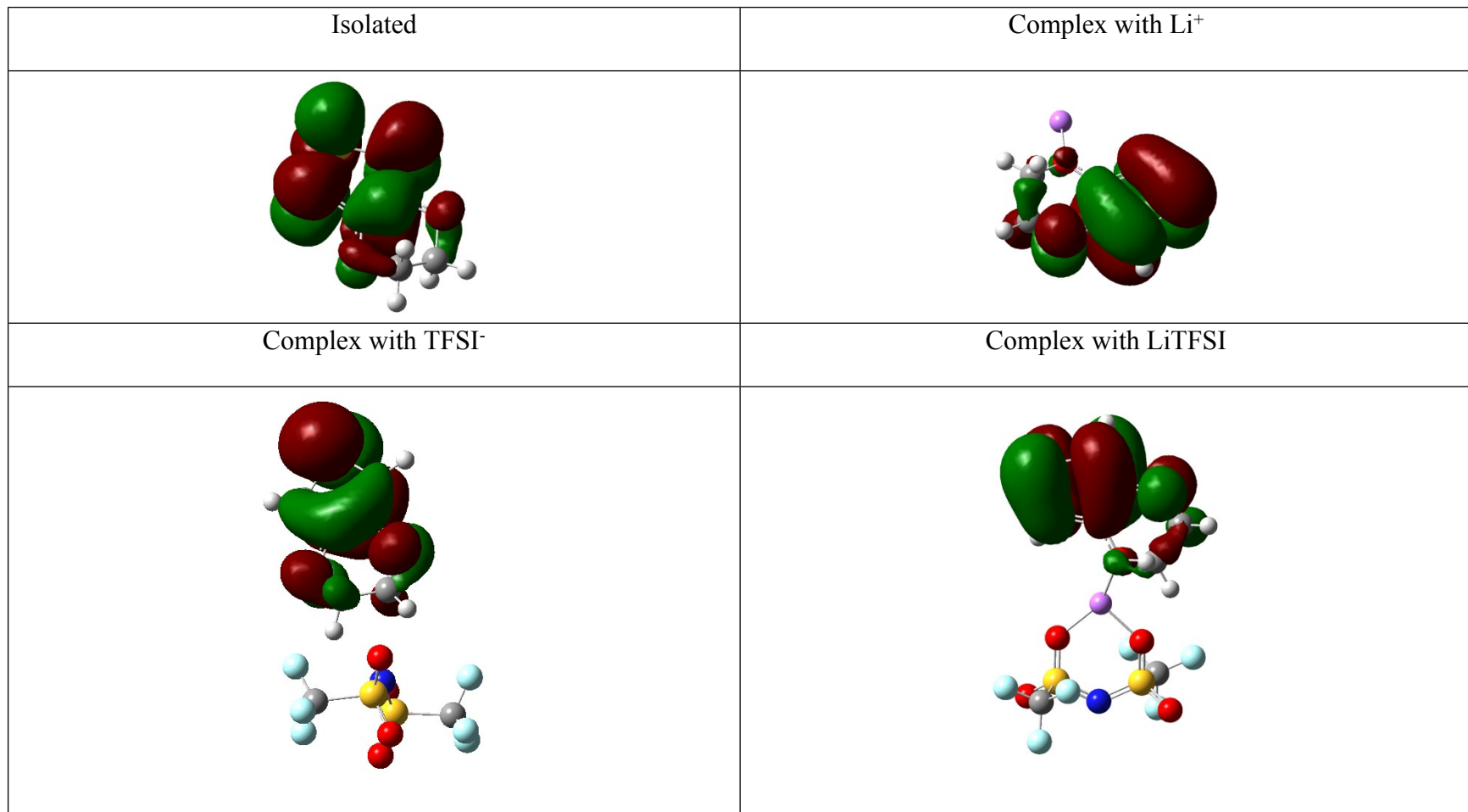


Figure S6. HOMOs of EDOT in isolated case, and in complexes with Li^+ , and TFSI^- , and LiTFSI .

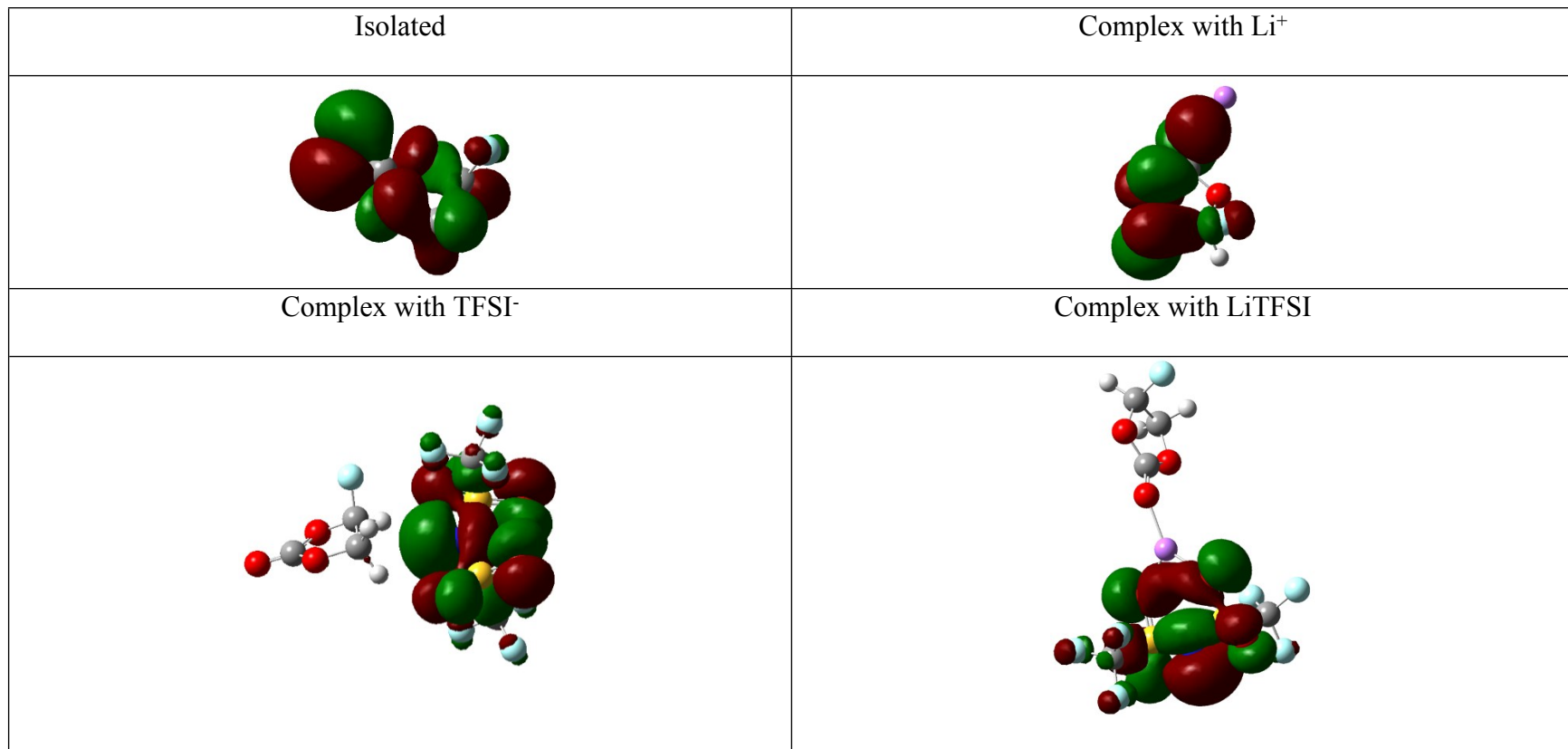


Figure S7. HOMOs of FEC in isolated case, and in complexes with Li^+ , and TFSI^- , and LiTFSI .

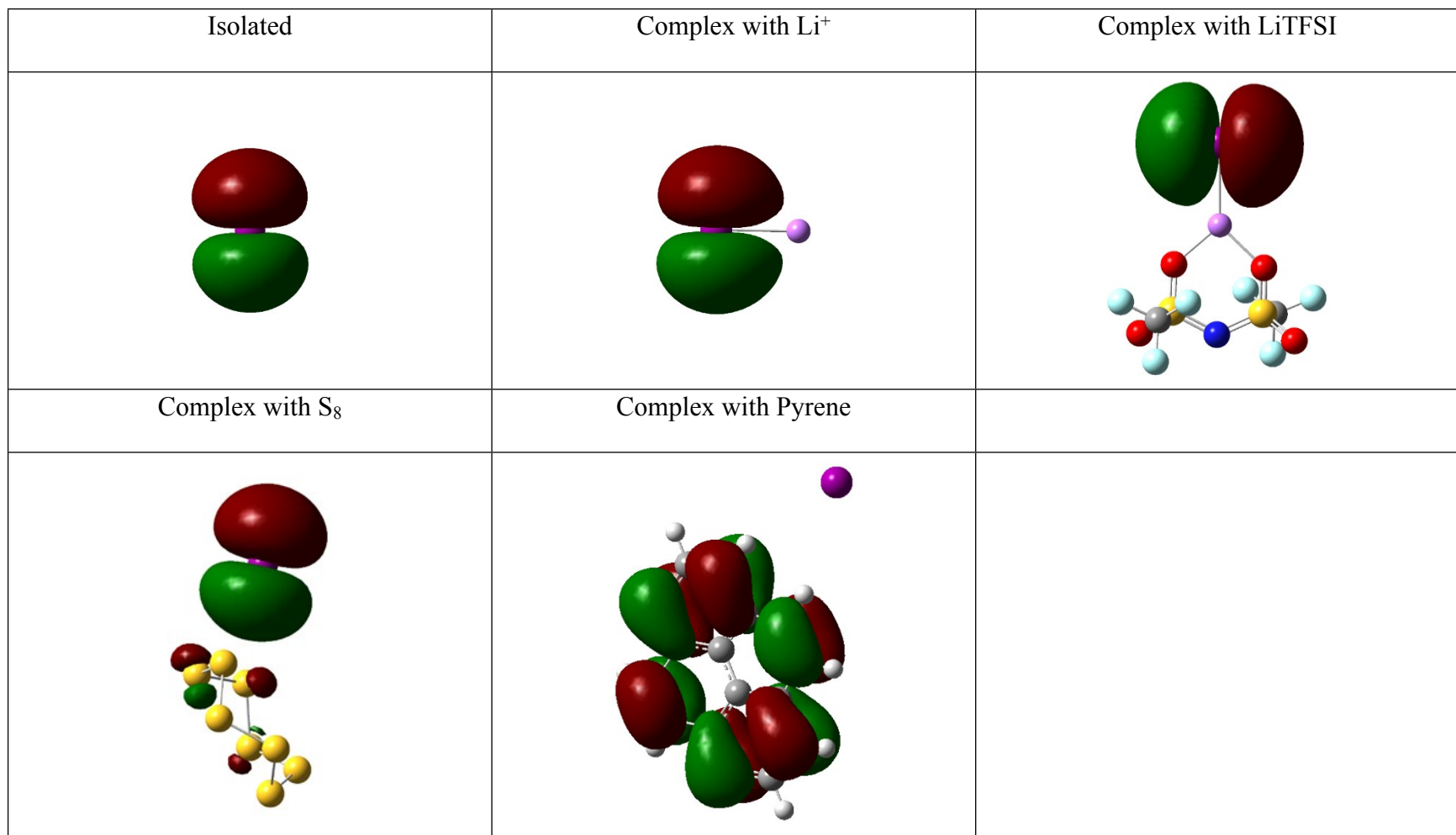


Figure S8. HOMOs of I^- in isolated case, and in complexes with Li^+ , LiTFSI, S_8 , and pyrene.

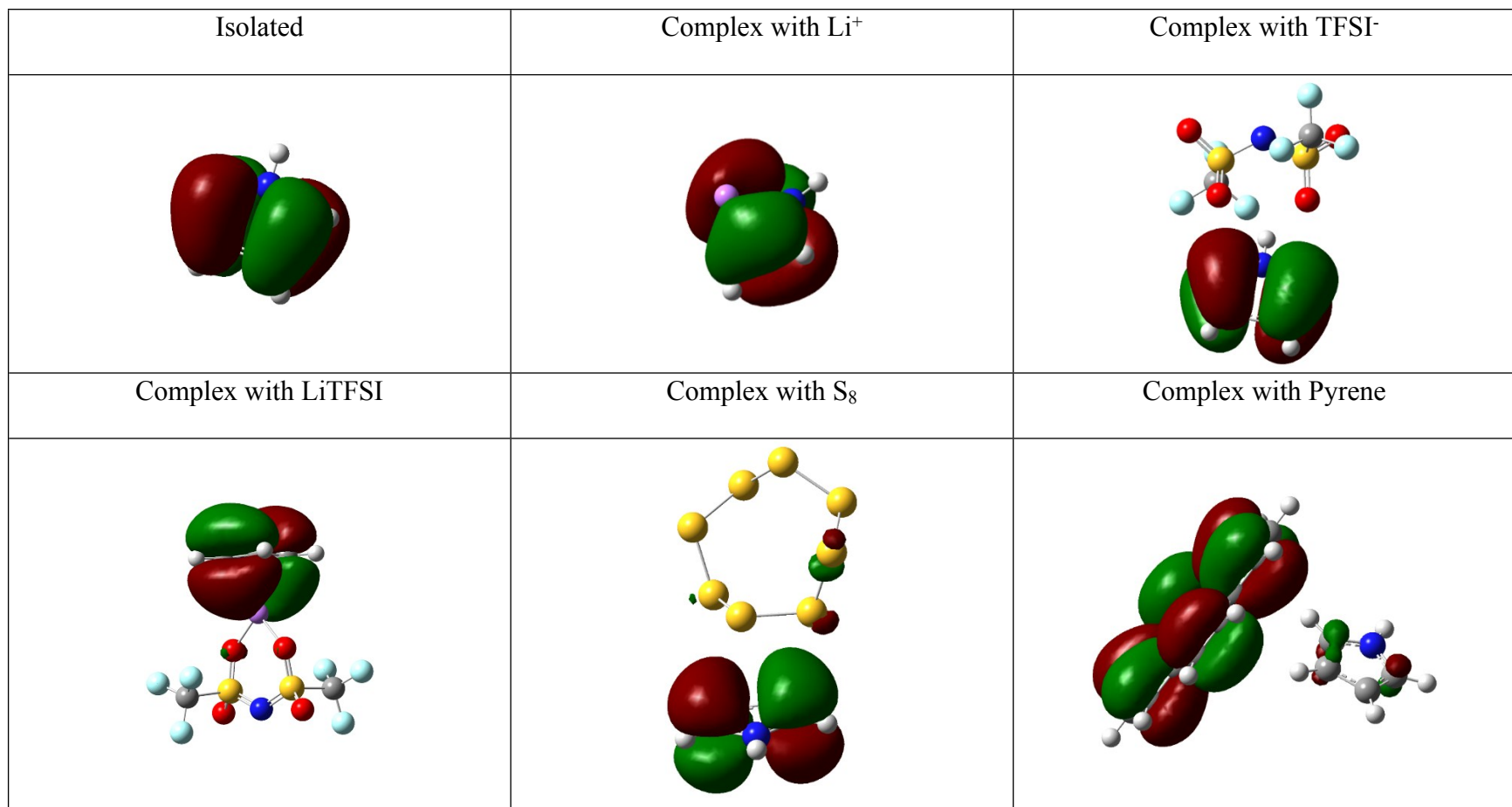


Figure S9. HOMOs of pyrrole in isolated case, and in complexes with Li^+ , TFSI^- , LiTFSI , S_8 , and pyrene.

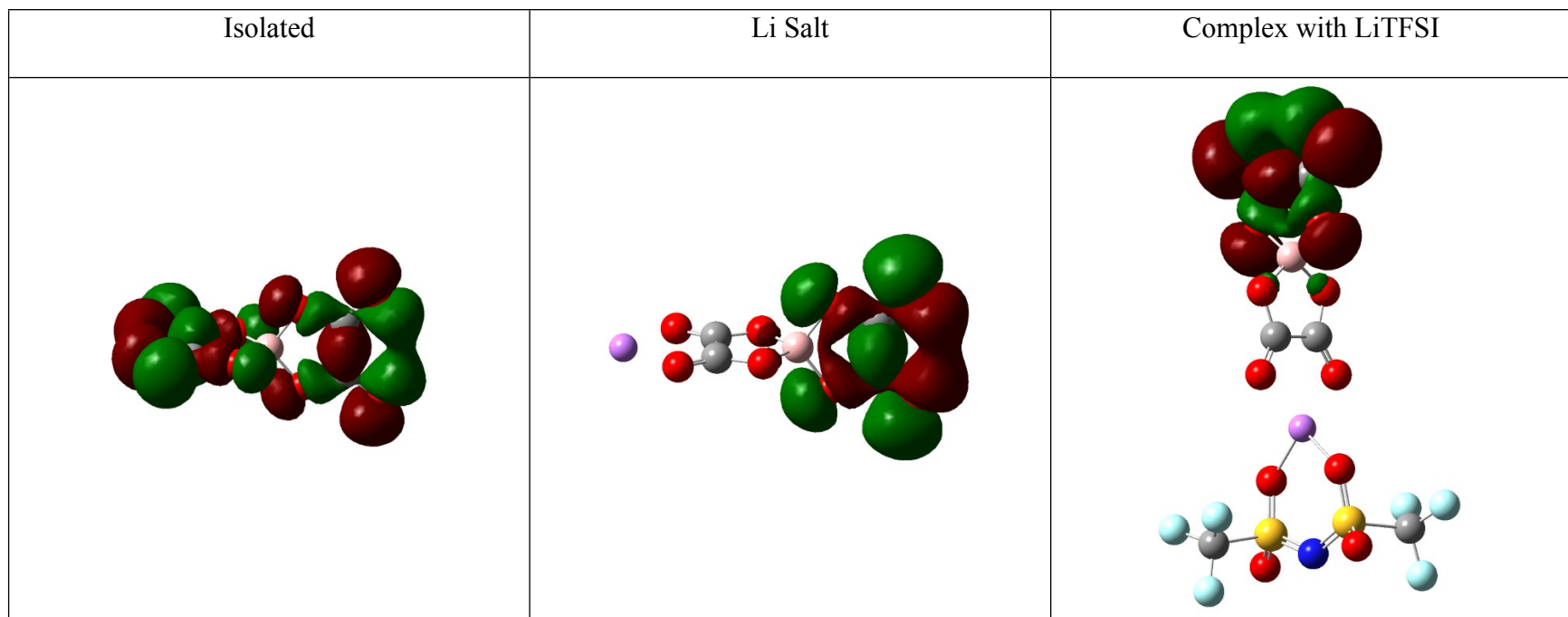


Figure S10. HOMOs of BOB^- in isolated case, and in complexes with Li^+ , and LiTFSI.

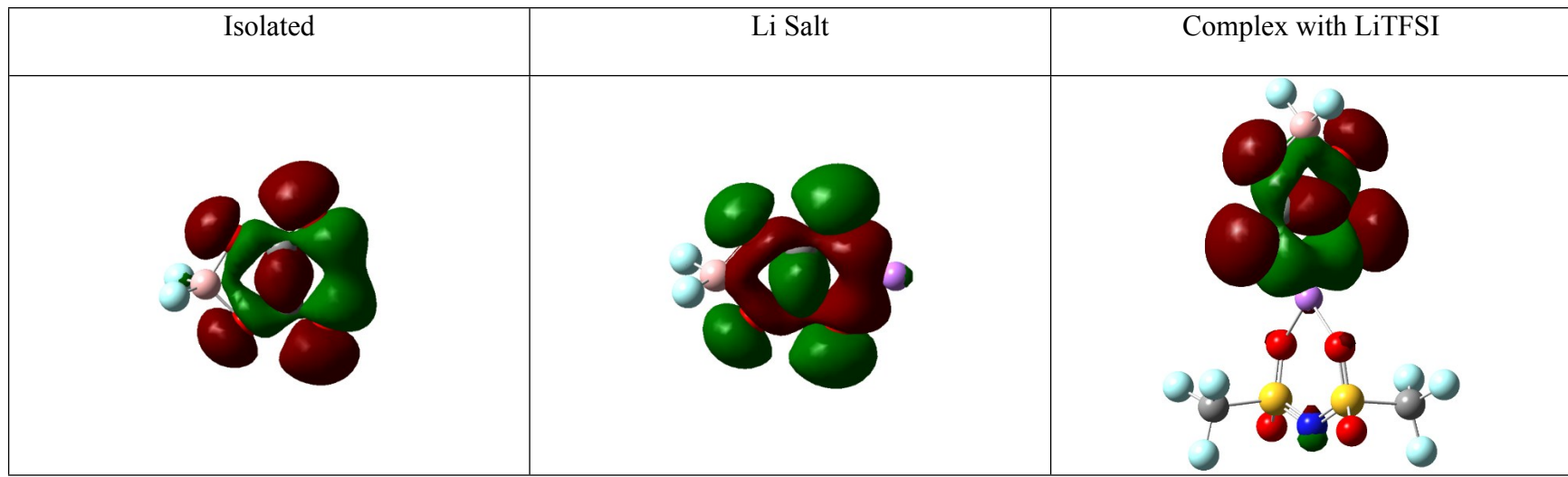


Figure S11. HOMOs of DFOB⁻ in isolated case, and in complexes with Li⁺, and LiTFSI.